

RESUMO - NOTAS / ABSTRACT - NOTES

As características das máquinas de plasma quiescente ou estável do LAP (PQUI I e II) são apresentadas neste trabalho. Elas foram construídas e desenvolvidas nas oficinas do INPE, e geram plasmas de baixa densidade e temperatura, ideais para simulação e testes de interação de satélites com plasmas espaciais. Neste trabalho sondas de Langmuir e sondas emissivas foram utilizadas para avaliar densidade, temperatura e o perfil espacial de potencial nas vizinhanças de uma esfera de cobre introduzida no plasma, simulando o satélite imerso na ionosfera.

OBSERVAÇÕES/REMARKS

Trabalho apresentado no 1º Simpósio Brasileiro de Tecnologia Aeroespacial (BSAT), agosto 1990.

# MÁQUINAS DE PLASMA QUIESCENTE PARA ESTUDO DA INTERAÇÃO DE SATÉLITES COM PLASMAS ESPACIAIS

J. L. Ferreira, J. G. Ferreira, G. M. Sandonato, E. D. Campos\* e W. C. Damásio\* Laboratório Associado de Plasmas - LAP Instituto Nacional de Pesquisas Espaciais - INPE C. P. 515 - CEP 12201 - São José dos Campos - SP

\*Alunos de Mestrado do ITA/CAPES e FAPESP

#### **RESUMO**

As características das máquinas de plasma quiescente ou estável do LAP (PQUI I e II)são apresentadas neste trabalho. Elas foram construídas e desenvolvidas nas oficinas do INPE, e geram plasmas de baixa densidade e temperatura, ideais para simulação e testes de interação de satélites com plasmas espaciais. Neste trabalho sondas de Langmuir e sondas emissivas foram utilizadas para avaliar densidade, temperatura e o perfil espacial de potencial nas vizinhanças de uma esfera de cobre introduzida no plasma, simulando o satélite imerso na ionosfera.

### 1 - INTRODUÇÃO

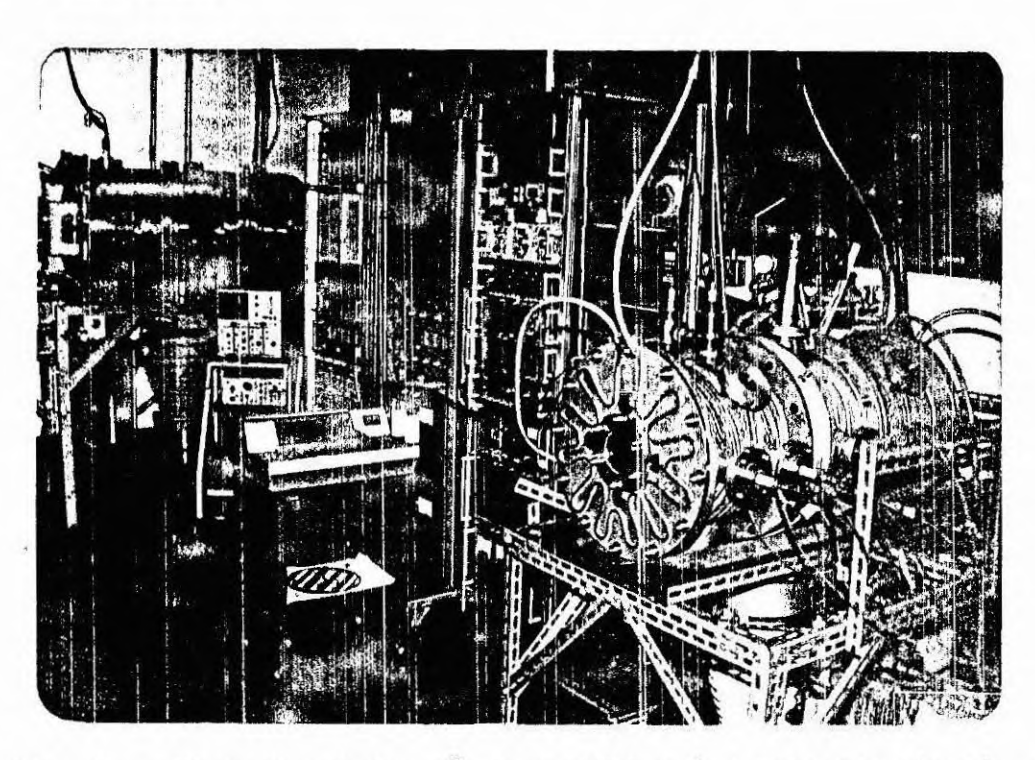


Fig. 1 - Vista Geral das máquinas PQUI-I (em primeiro plano) e PQUI-II (ao fundo).

O meio ambiente em que se encontram os satélites artificiais é sempre adverso aos equipamentos de bordo e à propria estrutura externa destes satélites. Além da exposição direta a feixes de partículas energéticas, e a diversos tipos de radiação infravermelha, ultravioleta, raios x e gama, os efeitos do plasma ionosférico, especialmente em satélites de orbita baixa, podem ser extremamente danosos. O carregamento diferenciado da estrutura externa pode provocar curtos circuitos entre os equipamentos internos, faiscas elétricas na parte externa e até mesmo a corrosão dos materiais expostos ao ataque das partículas do plasma (1).

O estudo da interação de satélites com plasmas espaciais vem sendo realizado por vários anos através de métodos analíticos (2) e de simulação computacional (3). Devido aos limites técnicos da observação direta deste fenômeno, inúmeros experimentos de simulação destes efeitos têm sido realizados em laboratórios com plasmas de grande volume (1). Nestes experimentos no entanto, nem sempre é possível produzir as reais condições do plasma ionosférico, pois nas regiões de plasma menos densas o comprimento de Debye é da ordem de metros.

Neste trabalho as características dos plasmas produzidos pelas máquinas de plasma quiescente do LAP-INPE serão apresentadas. Será demonstrado que o plasma gerado nestas máquinas é semelhante ao plasma ionosférico, e que isto permite a realização de simulação de interação plasma-satélite em escala reduzida. Os resultados obtidos com a medida da temperatura e da densidade eletrônica com sondas eletrostáticas, e de perfil espacial de potencial de plasma com sonda emissiva, nas proximidades de uma esfera de cobre de raio = 0,50 cm, serão também mostrados.

## 2 - CARACTERÍSTICAS DAS MÁQUINAS DE PLASMA QUIESCENTE

As máquinas PQUI-I e PQUI-II (4) instaladas no LAP-INPE, vistas na fig.l possuem as seguintes características:

#### PQUI-I

- Recipiente de vácuo feito de aço inox não magnetizável 3041 com diâmetro = 0,3m e comprimento = 0,75m.
- Totalmente desenvolvida e construída nas oficinas do INPE.
- Sistema de vácuo marca EDWARDS com bomba difusora de 2801/s e bomba mecánica de 6 m³/h. e armadilha criogênica(feita no INPE).

#### PQUI-II

- Recipiente de vácuo feito de aço inox não magnetizável 3041 com diâmetro = 0,6m e comprimento = 1,2m.

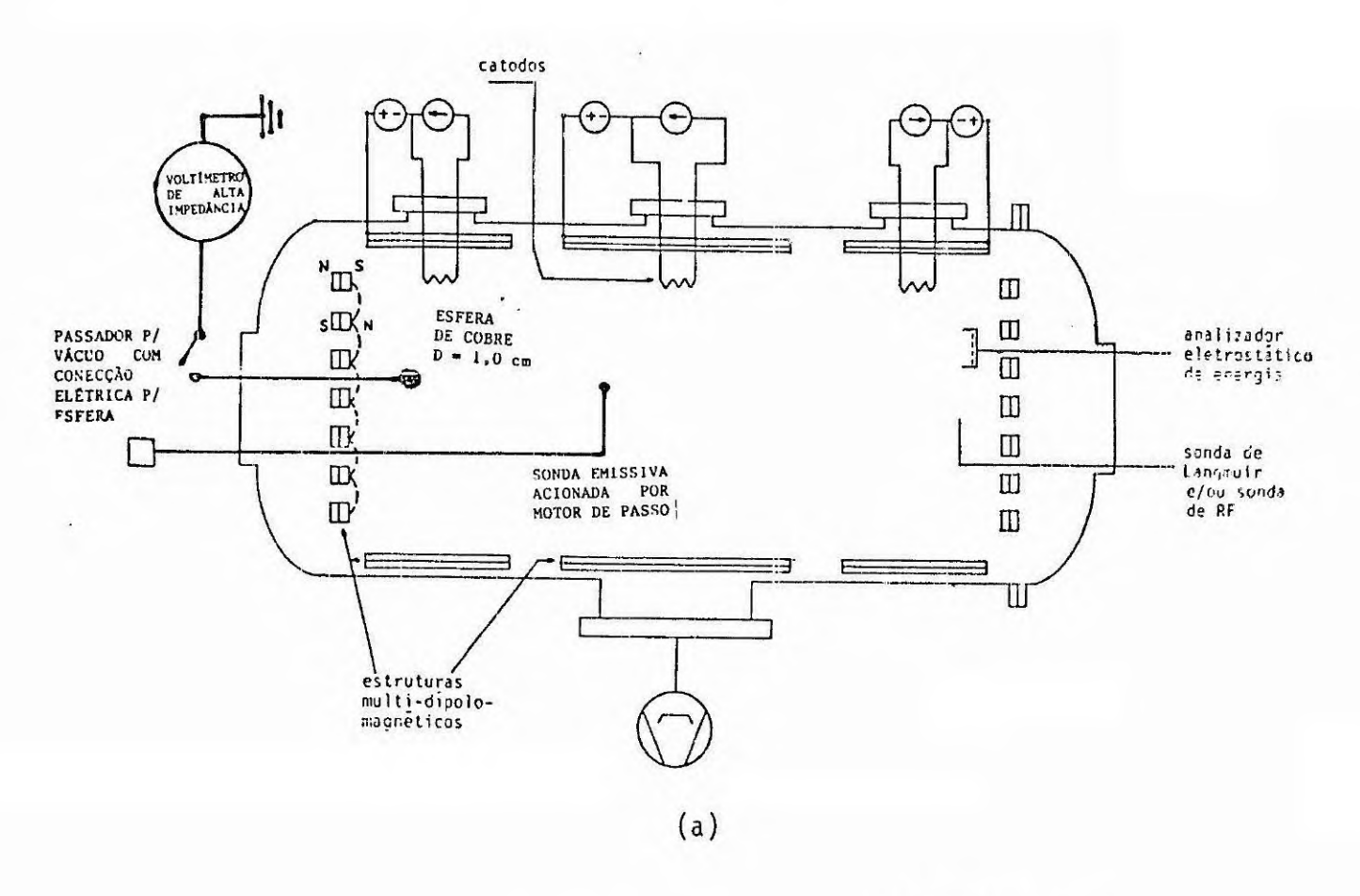
- Projetada no INPE e construída pela indústria Cryometal.
- Sistema de vácuo marca EDWARDS com bomba difusora de 20001/s com armadilha criogênica e bomba mecânica de 40m³/h.

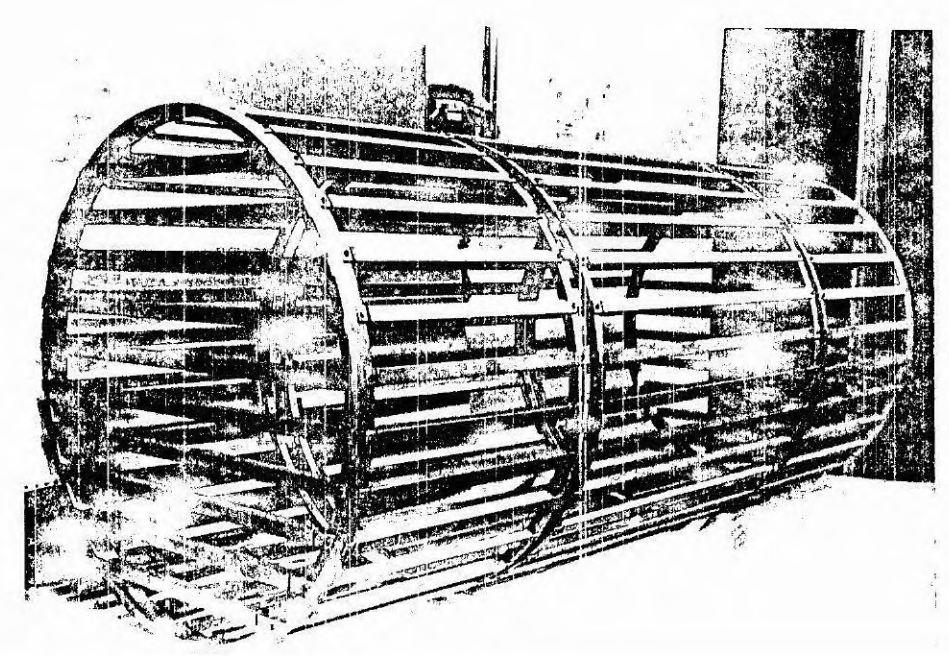
O método de produção de plasma quiescente é o mesmo para as duas maquinas. O plasma e produzido a partir de uma descarga termoionica continua com gases do tipo H, He, N, Ar ou Xe, que são introduzidos nas camaras de vacuo até uma pressão máxima de  $5,0 \times 10^{-4}$ mbar. Descargas mais eficientes poderão ser produzidas por catodos de chapa de niquel cobertos por uma camada de oxido de bário (BaO). O niquel e indiretamente aquecido por filamentos de tungstênio, isolados elétricamente do niquel por um tubo de alumina, até uma temperatura de 900 °C. Alternativamente podera ser utilizado um sistema mais simples, que consiste de um conjunto de catodos de tungstênio cobertos por oxido de bario, ligados em paralelo e diretamente aquecidos por correntes de até 2,0 A por filamento. Esta corrente os aquece por efeito Joule e um número significativo de elétrons da camada de BaO podera ter energia superior a da função trabalho da camada. O efeito final é o da emissão de uma grande quantidade de eletrons, que é favorecida pelo vácuo existente na camara, isto e pelo grande livre caminho medio existente para as particulas. A este processo da-se o nome de emissão termoiônica.

Para aumentar a eficiência de ionização e produzir plasmas com maior densidade foram introduzidas nas camaras sistemas de confinamento magnetico superficial. Eles são formados por estruturas de campos multidipolo magneticos, eletricamente uma da outra e da camara de vacuo, para formar plasmas independentes (fig.2a). Com este arranjo e possível controlar o potencial espacial de cada um dos plasmas e gerar feixes de particulas de baixa energia. As estruturas multidipolo magneticas da PQUI-I são formadas por 24 barras de imas permanentes de ferrita uniformemente dispostas ao longo da superficie interna da camara de vacuo. As laterais sao acrescidas de 6 barras de imas dispostas tranversalmente e paralelas entre si. A estrutura multidipolo magnetica da PQUI-2, vista na fig.2b, está dividida em três partes, possui 32 barras de imas longitudinais e as laterais possuem 10 barras de imas cada. Na PQUI-II os imas permanentes de ferrita são encapsulados em tubos retangulares de aluminio, com vedação para alto vácuo. O campo magnético superficial médio tanto na PQUI-I como na PQUI-II é da ordem de 200 Gauss.

Os diagnosticos utilizados nas máquinas PQUI-I e PQUI-II para caracterizar os plasmas e a sua interação com a materia sólida são os seguintes:

- Voltimetro de alta impedância (1  $M\Omega$ ) para medida direta do potencial flutuante de esferas metálicas e sondas no interior do plasma.





(b)

Fig. 2 - Esquema da estrutura interna da máquina PQUI-II (a) e vista geral das estruturas multidipolo-magnéticas com imas permanentes encapsulados em canaletas de alumínio (b).

- A sonda de Langmuir consiste em um eletrodo imerso no plasma que possui uma curva característica de corrente x voltagem aplicada de onde se extraem vários parâmetros do plasma, tais como correntes de saturação de eletrons e ions, potencial flutuante, potencial de plasma, densidade e temperatura de elétrons (fig.3).
- O analisador eletrostático de energia (fig.4) serve para medir a temperatura de ions e elétrons e a energia de feixes de particulas no interior do plasma. Ele é formado por duas grades e um coletor. A primeira grade em contato com o plasma impede a entrada de ions ou de elétrons dependendo da sua polarização, e a segunda seleciona as particulas pela energia com que chegam ao coletor.
- A sonda emissiva (fig.5) mede com precisão de 0.1 volts o potencial de plasma. Ela consiste de um eletrodo aquecido que emite eletrons na mesma proporção em que são coletados pelo eletrodo. O potencial da curva característica da sonda emissiva em que ha balanceamento entre corrente emitida e coletada é dito potencial de plasma.

# 3 - MEDIDA DE POTENCIAL DE PLASMA NAS VIZINHANÇAS DE UMA ESFERA METALICA

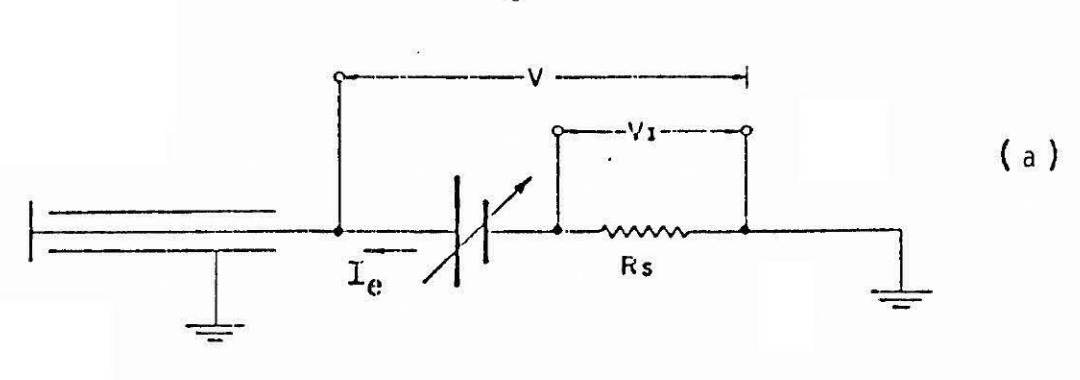
O potencial de um corpo metálico isolado imerso em um plasma é dado por (2):

$$V_f = -\frac{k_B T_e}{e} \ln \left( \frac{m_e}{m_i} \right)$$

o potencial  $V_f$  é também conhecido como potencial flutuante,  $k_B$  é a constante de Boltzmann, Te a temperatura de elétrons e  $m_e$  e  $m_i$  as massas de elétrons e ions respectivamente. O valor de  $V_f$  depende não só do fluxo de elétrons e ions que se dirigem para o corpo, mas também da presença de feixes de particulas energéticas e da radiação eletromagnética que incide sobre ele.

No caso da dercarga termoiónica nas máquinas de plasma quiescente pode-se notar a presença constante de um feixe de elétrons proveniente dos catodos cuja energia é determinada pelo potencial de descarga. Estes elétrons são também conhecidos como elétrons primários pois são eles que ionizam os átomos neutros do gás introduzido na câmara, e formam assim o plasma.

A figura 6 mostra as características básicas da descarga termoionica da PQUI-II com uma esfera de cobre de 10 mm de diâmetro em seu interior. A figura 6a mostra a variação da densidade e da temperatura eletrônica com a pressão do gás (argônio), medida com uma sonda de Langmuir. Vê-se que a temperatura eletrônica aumenta e a densidade diminui com o decrescimo da pressão. A temperatura aumenta porque o número de



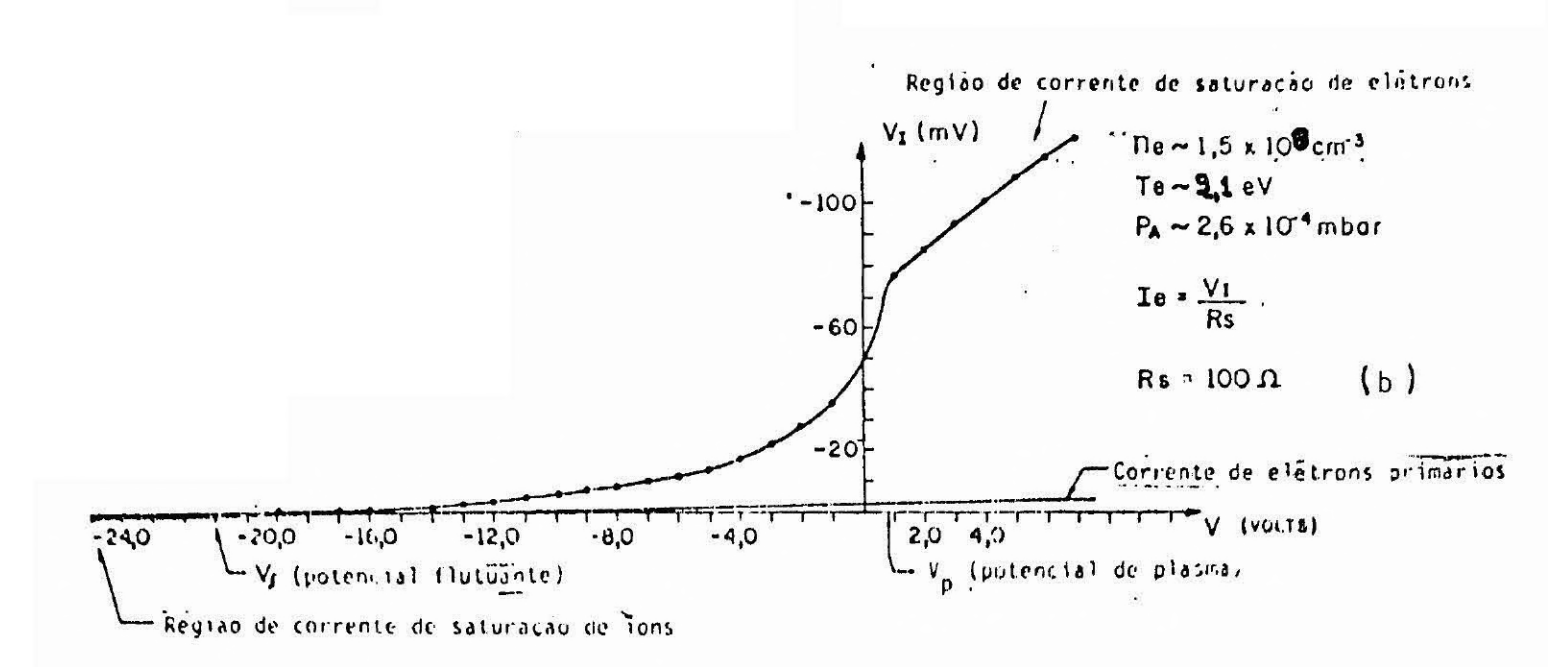


Fig. 3 - Esquema elétrico da sonda de Langmuir (a) e curva característica  $I_e \times V$  da sonda (b)

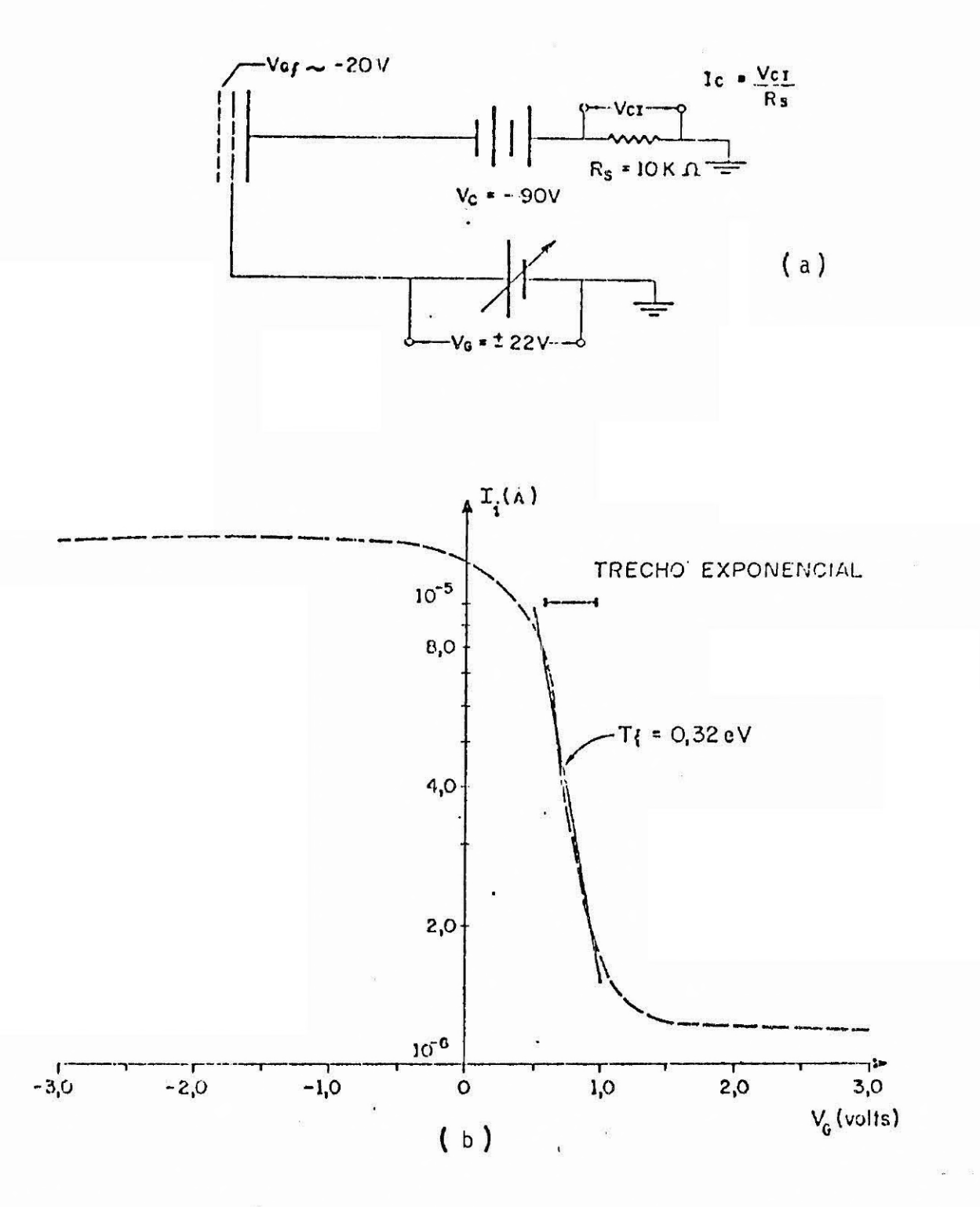


Fig. 4 - Esquema elétrico do analisador eletrostático de energia de íons (a) e curva característica  $I_{\rm C}$  x  $V_{\rm G}$  do analisador (b).

colisões com troca de energia entre elétrons e átomos neutros diminui , preservando assim a energia inicial dos elétrons. A densidade diminui porque o número de átomos neutros disponíveis para ionização diminui com o decréscimo da pressão. A figura 6b mostra a variação do potencial flutuante da esfera medido com um voltimetro com 10  $M\Omega$  de entrada. Vê-se que o potencial flutuante e sempre negativo e aumenta em valor absoluto a medida que a pressão diminui. Este comportamento também está ligado com o decrescimo da frequência de colisões entre elétrons e átomos neutros. Este decrescimo permite que a carga espacial associada ao feixe de elétrons primários tenha um efeito maior sobre a esfera.

O potencial de plasma nas vizinhanças da esfera foi medido com uma sonda emissiva movel ao longo do eixo principal z da maquina. A figura 7 mostra os dois perfis espaciais de potencial para alta e baixa pressão. Os resultados obtidos mostram novamente que a influencia da carga espacial associada ao feixe de eletrons primarios e maior em baixas pressões, como esta mostrado na fig. 6b. Estes resultados, no entanto servem apenas mostrar de forma qualitativa a influecia características do plasma sobre um corpo metálico, em particular para o caso especifico de uma esfera de cobre com 5mm de diametro. O potencial flutuante, bem como os perfis espaciais de potencial de plasma poderão assumir outros valores para esferas com outros diametros, para aquelas feitas de outros materiais, e até mesmo para corpos metálicos com outras geometrias. Uma avaliação mais rigorosa do potencial de plasma nas vizinhanças de corpos metalicos imersos no plasma, devera ser efetuada com medidas nos três eixos e assim obter um tridimensional dos campos elétricos envolvidos.

# 4 - CONCLUSÃO

As máquinas de plasma quiescente do INPE podem produzir plasma com características semelhantes às encontradas na ionosfera. Medidas do potencial flutuante de esferas metálicas, bem como de potencial de plasma em suas vizinhanças são fundamentais para o estudo da interação de satélites com o seu meio ambiente, formado por plasmas sempre atravessados por feixes de partículas carregadas.

Com a recente instalação no LAP-INPE de uma câmara de vácuo de 2,0m de diâmetro e 3,0 de comprimento será possível em futuro próximo realizar estudos mais detalhados da interação de plasmas com metais. Está também prevista a instalação de fontes de ions e elétrons mais energéticas que permitirão uma maior aproximação das condições reais de interação do satélite com o plasma ionosférico.

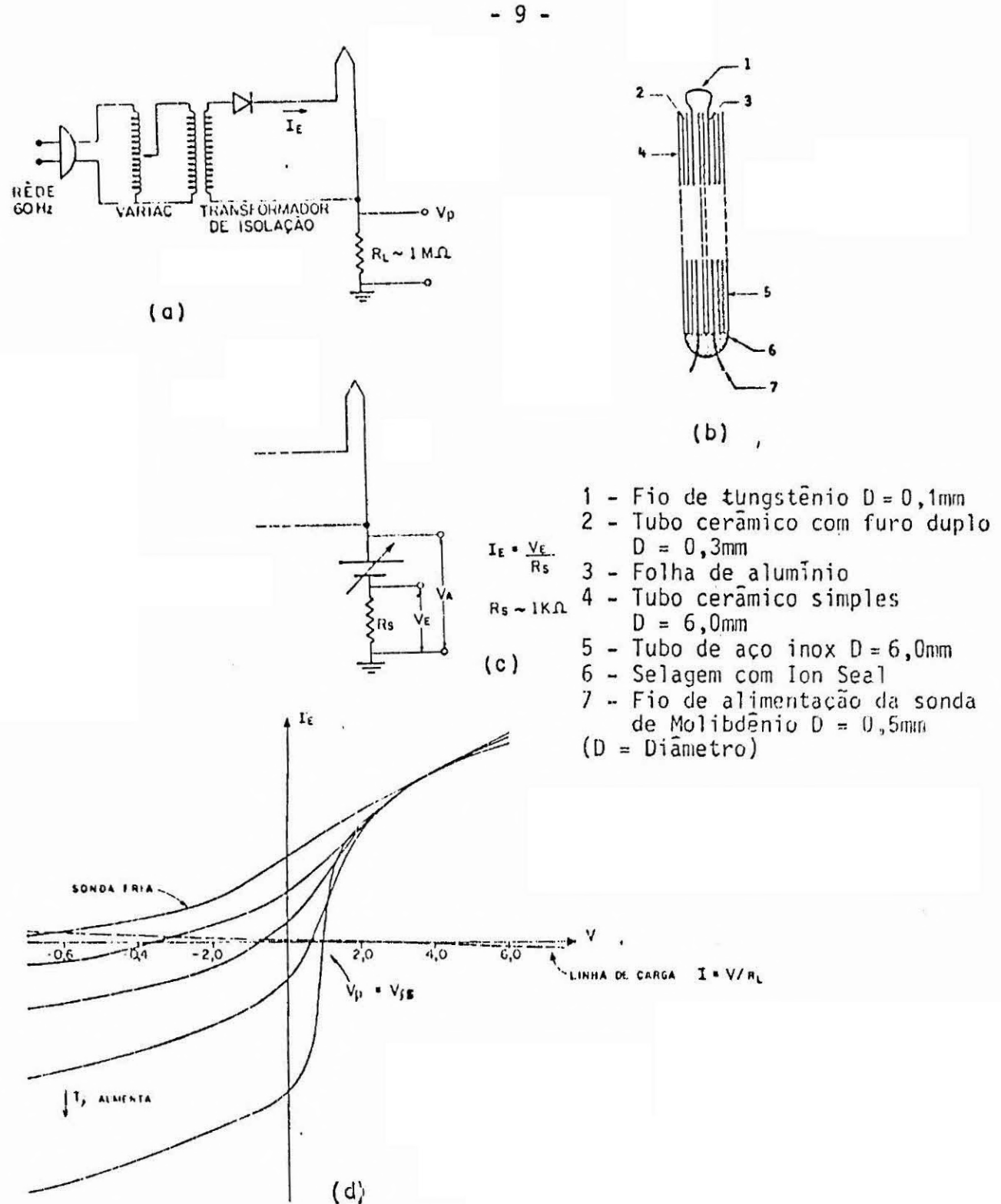
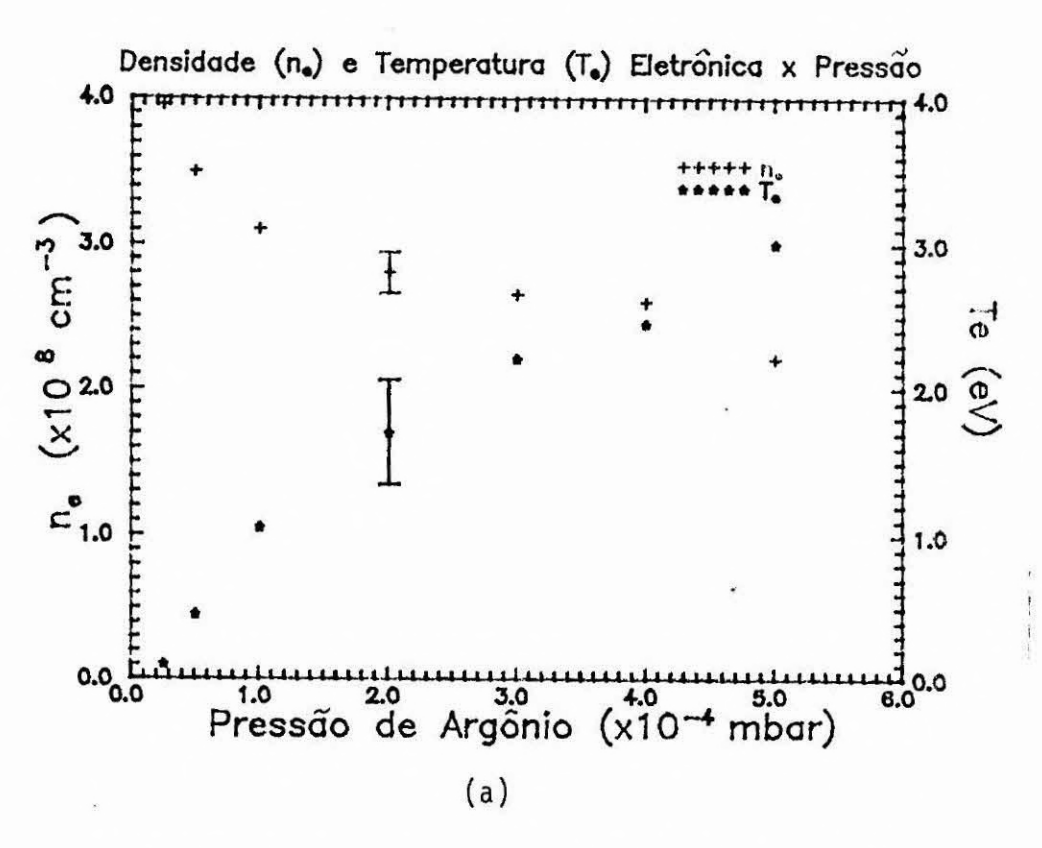
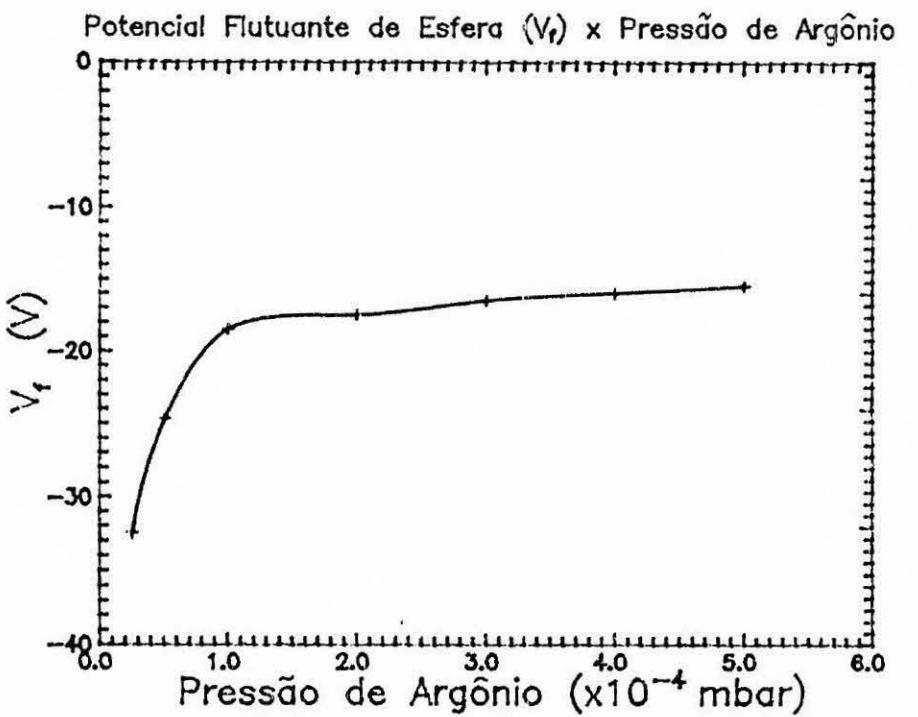


Fig. 5 - Diagrama elétrico de alimentação da sonda emissiva (a), esquema do sensor da sonda emissiva (b), circuito de varredura da sonda (c) e curvas características da sonda emissiva (d).





(b)
Fig. 6 - Variação da densidade e da temperatura eletrônica na PQUI-II em função da pressão de gas neutro (a).
Potencial flutuante da esfera de cobre em função da pressão de gas neutro (b).

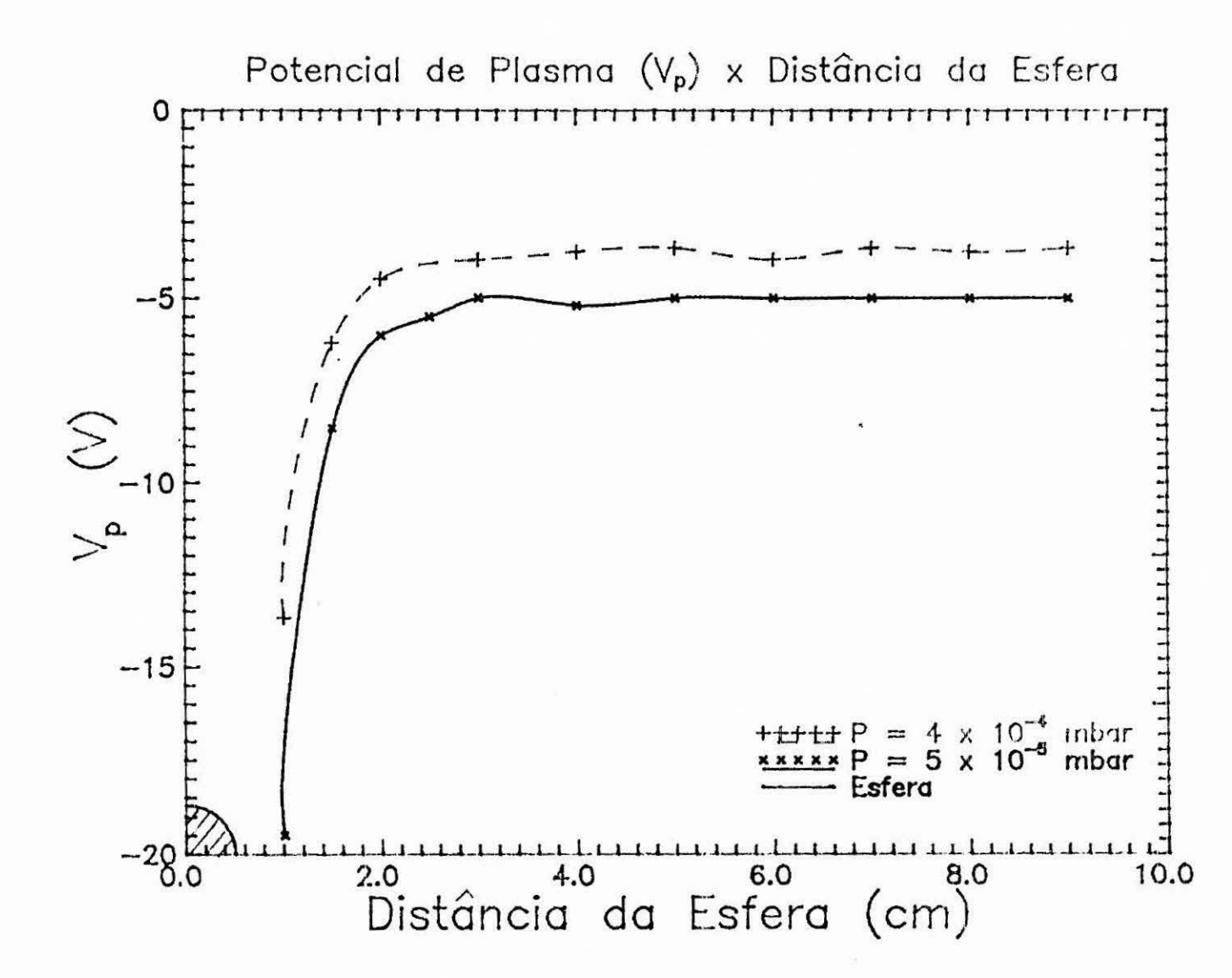


Fig. 7 - Perfil espacial de potencial de plasma nas vizinhanças da esfera de cobre, ao longo do eixo da maquina PQUI-II.

## 5 - REFERÊNCIAS

- (1) MC COY, J.E. et al "Current Leakage For Low Altitude Satellites". Progress in Astronautics and Aeronautics vol, 71. (Space Systems and Their Interactions with Earth's Space Environment) Martin Summerfield Series, New York, chap. IV, p. 523, 1980.
- (2) AFONSO G. et al "Reassessment of the Charge and Neutral Drag of Lageos and Its Geophysical Implications. Journal of Geophysical Research, vol. 90, no. B11, p. 9381-9398, sept. 1985.
- (3) RUBIN, A.G. "A Three Dimensional Spacecraft charging Computer Code." Progress in Astron. and Aeron., vol. 71 (Space Syst. and Their Inter with Earth's Space Environment) Martin Summerfield Series, New York, chap. II, p. 318, 1980.
- (4) FERREIRA, J.L. "Fenômenos Acústicos Iônicos Lineares e Não-Lineares em Descargas Multi-Dipolo Magnéticas". Tese de doutorado INPE - 4100 - TDL/257, dez. 1986.